

東京大学 学生員 松井雅志
東京大学 学生員 野口哲男

1. 目的 本稿の目的はねじり、せん断及び曲げを受ける鉄筋コンクリート梁に対する既往の終局耐力式の問題点を明らかにする事である。そのために既往の実験結果との比較を行なった。考察の対象とする終局耐力式としては、仮定した破壊断面での釣り合い式より導かれた Lessig らによるソビエトの式とスペーストラスアナロジーに基づいた Thürlimann らの式を取り上げた。これらの 2 つの式は、その後の研究が仮定した断面での釣り合い、あるいはスペーストラスアナロジーに基づいている点で基本的かつ重要なと考えられる。

2. 終局耐力式の紹介

1) ソビエトの式 この式は 2 つの破壊形式を仮定し、その各々について終局耐力式が導き出される。第 1 の破壊形式は中立軸が梁の上面に平行にある場合であり、第 2 の破壊形式は中立軸が梁の側面に平行にある場合である。

・第 1 の破壊形式に対して

$$T \left(\frac{c}{b} + 1/H \right) = \left[\sigma_s A_{s1} + \sigma_{st} A_{st} C_1^2 / S / (2h+b) \right] (h_0 - x_1/2) + \sigma'_s A'_{s1} (x_2/2 - a'_1)$$

ただし $H = T/f_M$, $C_1 = -b/H + \sqrt{(b/H)^2 + \sigma_s A_{s1} S / (2h+b) / (\sigma_{st} A_{st})}$, $x_1 = \frac{\sigma_s A_{s1} + \sigma_{st} A_{st} C_1^2 / S / (2h+b) - \sigma'_s A'_{s1}}{f'_c (C_1^2 + b^2)}$

・第 2 の破壊形式に対して

$$T \cdot c/h (1 + 1/\lambda) = \left[\sigma_s A_{s2} + \sigma_{st} A_{st} C_2^2 / S / (2b+h) \right] (b - a_2 - x_2/2)$$

ただし $\lambda = 2T/f_M b$, $C_2 = \sqrt{\sigma_s A_{s2} S (2b+h) / (\sigma_{st} A_{st})}$, $x_2 = \left[\sigma_s A_{s2} + \frac{\sigma_{st} A_{st} C_2^2}{S (2b+h)} \right] h / f'_c / (C_2^2 + h^2)$

A_{s1} : 曲げ引張側の全軸方向鉄筋断面積, A_{st} : 横方向鉄筋断面積, a_1 : 曲げ引張面から軸方向鉄筋までの距離
 b : 幅, h : 全高, h_0 : 有効高さ, f'_c : コンクリート圧縮強度, S : スターラップアラップ間隔, σ_s : 軸方向鉄筋の降伏応力, σ_{st} : スターラップアラップの降伏応力, 添字 2 は側面での諸量を, ' は圧縮側の諸量を表す。

2) Thürlimann らの式 この式はスペーストラスアナロジーに基づき、スターラップアラップの降伏後、梁の下面、上面、側面の各々の軸方向鉄筋が降伏する 3 つの破壊形式について導かれたものである。

・下面の軸方向鉄筋の降伏に対して ; $F_{yu}/F_{y4} \left[(T_p/T_{po})^2 + (V_p/V_{po})^2 \right] + M_p/M_{po} = 1$

・上面の軸方向鉄筋の降伏に対して ; $(T_p/T_{po})^2 + (V_p/V_{po})^2 - F_{yu}/F_{y4} \cdot M_p/M_{po} = 1$

・側面の軸方向鉄筋の降伏に対して ; $(T_p/T_{po})^2 + 2 \cdot T_p \cdot V_p / V_{po} \sqrt{2h/u} + (V_p/V_{po})^2 = \frac{1}{2} [F_{yu}/F_{y4} + 1]$

ただし $M_{po} = 2 \cdot F_{yu} \cdot h$, $T_{po} = 2 \cdot A_0 \cdot \sqrt{4F_{yu} \cdot S_y / u / S}$, $V_{po} = 2 \cdot \sqrt{2 \cdot F_{yu} \cdot S_y \cdot h / S}$

F_{yu} : 上面の軸方向鉄筋の降伏力, F_{y4} : 下面の軸方向鉄筋の降伏力, S_y : スターラップアラップ降伏力, S : スターラップアラップの間隔, h : 軸方向鉄筋間の高さ, A_0 : 軸方向鉄筋に囲まれる面積, u : A_0 の周長

なお、その後の研究の 1 例として Elfren の式があげられる。この式はソビエトの式で仮定した 2 つの破壊形式に加えて、中立軸が下面に平行な第 3 の破壊断面を仮定し、2 軸についてのモーメントの釣合、鉛直方向の力の釣合、さらに破壊断面と梁軸とのなす角を考慮する事により導かれた式で、ソビエトの式を発展させたものと考えられる事ができる。

3. 計算結果及び考察 既往の 64 本の鉄筋コンクリート矩形梁の実験データに対する計算結果は表 1 の通りである。以下に考察を述べる。

1) 図-2 に示すソビエトの式の計算結果では、Thürlimann のデータに対する精度が非常に悪い事がわかる。この原因として供試体の配筋があげられる。これらの供試体は図-1 に示すような断面を持つが、ソビエトの計算式では第 2 の破壊形式に対して側面に沿った鉄筋だけが軸方向鉄筋の効果として考慮されていて、下面に沿って密

に配置された鉄筋の効果は無視される。従って第2の破壊形式に対して過小評価をしてしまう事になる。すなわちソビエトの式をこのような配筋の梁にに対して適用するには注意を要する。

2) 図-2に示すようにソビエトの式は T_{bf} あるいは $2T_{\text{bf}}$ が大きくなるに従い、すなわちねじりの影響が卓越するにつれ過大評価をする傾向が見られる。式より明らかのように終局トルクに対するスタートラップの効果は $C_1^2/(2htb)$ に比例するので C_1 の算定が重要である。従ってねじりの影響が大きい領域での適用に問題があるという事はねじりが卓越した時の C_1 の算定に問題がある事を意味していると考えられる。

表1 計算結果

	Tex 平均 値	変動係数
ヨヒエトの式	1.078	23.2%
Thürlimann	1.175	17.6%
Elfren	1.191	15.6%



四 - 1

3) 図-3よりわかるように Thürlmann の式での計算値は T_{fb} あるいは $2T_{\text{fb}}$ の小さい範囲で精度が悪く、純ねいりに近づくにつれて比較的精度が良い事がわかる。

4) 2つの式はいずれも軸方向及び横方向の2方向に補強されたものに対してのみ適用でき、横方向に補強していないものに適用できない。従って設計に際して横方向補強が必要か不必要かの境界付近での適用に問題が生じる。この点は今後の課題とすべきであろう。

5) 2つの式を比較して以下の事を感じた。ソビエトの式に1), 2)の問題点がある事に加え、トラスアナロジーか実験での梁の挙動と比較してほぼ妥当であると考えられる事、トラス部材を現在の剛塑性体から弾塑性体へと仮定を変える事により任意の荷重レベルでのトラスの挙動を追跡できる可能性がある事ながら、今後はスペーストラスアナロジーに基づいて研究が望ましいと考えられる。

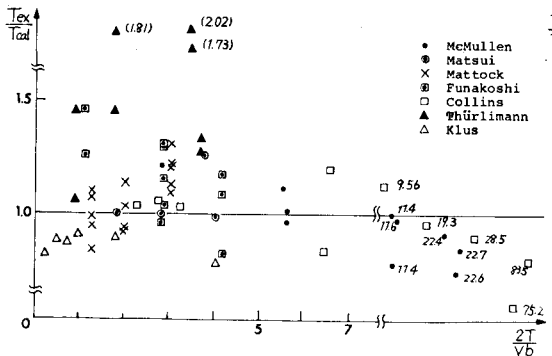


図-2(a) ソビエト式による計算結果

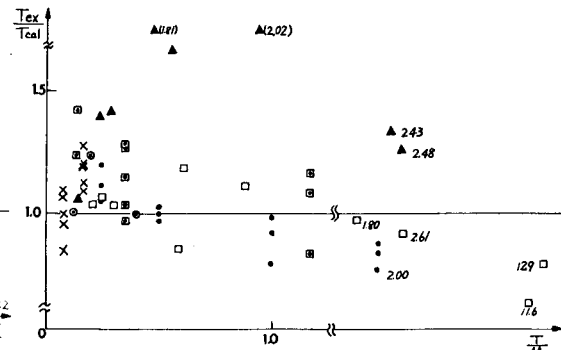


図-2(6) ソゼエトの式による計算結果

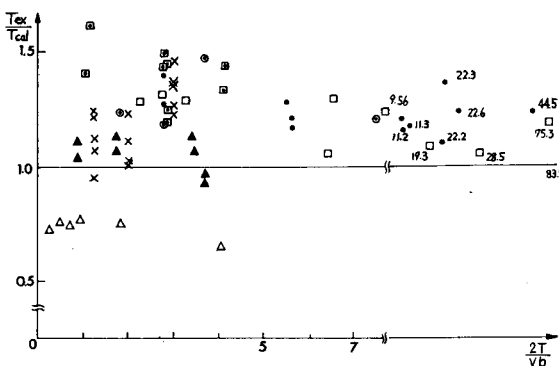


図-3(a) Thürlmann の式による計算結果

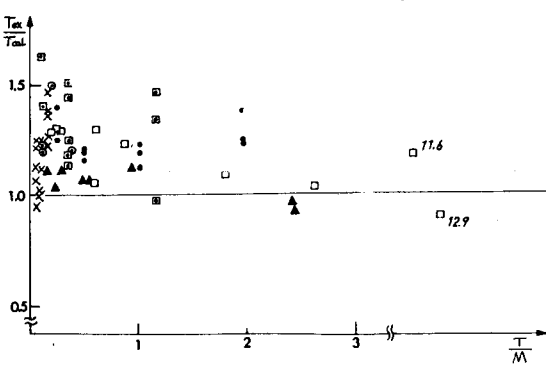


図-3(b) Thürlmannの式による計算結果

注) 図中の()内の数値は縦軸の値を示し、()の無い数値は横軸の値を示す。